

A. Strozzi, "Fondamenti di  
Costruzione di Macchine",  
*La meccanica delle Strutture  
vista da uno strutturista  
meccanico, Pitagora, Bologna,  
2016.*

## Rettifiche ed errata corrige



*Una dimostrazione eseguita con eleganza è una poesia sotto  
ogni aspetto, tranne che per la forma in cui è scritta*

Morris Kline

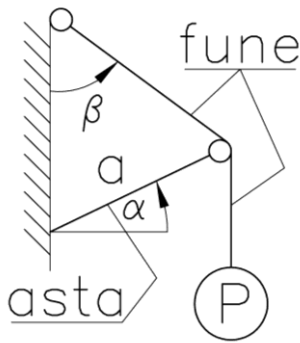
**p. 43 esercizio 2.12.15 Versione corretta**

Figura 2.42

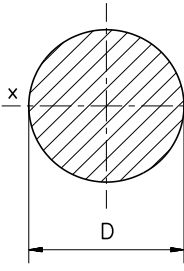
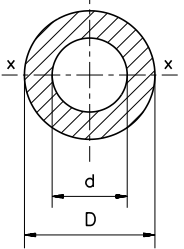
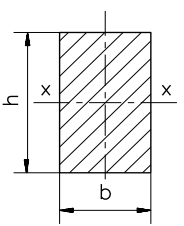
Considerare il sollevatore a fune di Figura 2.42. L'asta è incastrata alla parete, e termina con una puleggia (rappresentata schematizzata in Figura 2.42), nella cui gola passa la fune. Sono note la lunghezza  $a$  dell'asta, gli angoli  $\alpha$  e  $\beta$ , ed il carico da sollevare  $P$ . Determinare il valore dell'angolo  $\alpha$  in funzione di  $\beta$  e di  $a$ , per il quale l'asta risulta soggetta a compressione pura e non a flessione, cioè la risultante dei due rami della fune passa per l'asse dell'asta. Quale è il ruolo della lunghezza  $a$

nell'espressione di  $\alpha$  in funzione di  $\beta$ ?

**p. 113 esercizio 3.10.4** Le 4  $\tau$  non sono punta contro punta.

**p. 245** La tabella 4.9 risulta incompleta va sostituita con quella sottostante.

**4.9 Tabella riassuntiva sulle aree  $A$ , moduli di resistenza  $W$  e  $W_p$ , momenti di inerzia  $J_{xx}$  e  $J_p$ , coefficienti di taglio  $\xi$**

	$A = \frac{\pi D^2}{4}$	$W = \frac{\pi d^3}{32}$ $W_p = \frac{\pi d^3}{16}$	$J_{xx} = \frac{\pi d^4}{64}$ $J_p = \frac{\pi d^4}{32}$	$\frac{\tau_{\max,T}}{T} = \xi = \frac{4}{3} \approx 1.33$ $\tau_m = \frac{T}{A}$ <p>(Jourawski)</p> $\frac{\tau_{\max,T}}{T} = \xi = 1.38$ $\tau_m = \frac{T}{A}$ <p>(esatto, <math>\nu = 0.3</math>)</p>
	$A = \frac{\pi(D^2 - d^2)}{4}$	$W = \frac{\pi D^3}{32} \left[ 1 - \left( \frac{d}{D} \right)^4 \right]$ $W_p = \frac{\pi D^3}{16} \left[ 1 - \left( \frac{d}{D} \right)^4 \right]$	$J_{xx} = \frac{\pi(D^4 - d^4)}{64}$ $J_p = \frac{\pi(D^4 - d^4)}{32}$	$\frac{\tau_{\max,T}}{T} = \xi = \frac{(3+2\nu)D^2 + (1+2\nu)d^2}{(1+\nu)(d^2 + D^2)}$ $\tau_m = \frac{T}{A}$ <p>(esatto)</p> <p>(Jourawski'è impreciso per forti spessori di parete)</p>
	$A = bh$	$W = \frac{bh^2}{6}$ $\tau_{\max, M_t} = \left( 3 + 1.8 \frac{b}{h} \right) \frac{M_t}{hb^2}$	$J_{xx} = \frac{bh^3}{12}$ $\varphi = \left( \frac{3}{1 - 0.63 \frac{b}{h}} \right) \frac{M_t}{Ghb^3}$	$\frac{\tau_{\max,T}}{T} = \xi = \frac{3}{2} = 1.5$ $\tau_m = \frac{T}{A}$ <p><math>\left( \frac{h}{b} \geq 1, \text{ Jourawski} \right)</math></p> $\frac{\tau_{\max,T}}{T} = \xi \approx 2$ $\tau_m = \frac{T}{A}$ <p><math>\left( \frac{h}{b} = 0.25 \right)</math></p>

**p. 265** Il carico nell'esercizio 4.12.16 va preso di 1000 Nm anzichè 100Nm.

**4.12.16** Si consideri la sezione a T di una trave, Figura 4.88 (a), che viene caricata da una coppia flettente  $M_f$  di valore 1000 Nm, ad asse-momento orizzontale. Calcolare la massima tensione flessionale nelle due zone della sezione più distanti dall'asse neutro nella sezione.

**p. 331** La Figura 5.10 (a) è una volta staticamente indeterminata (e non due).

**p. 380** L'esercizio 7.2.8 non è nuovo, e lo si può dedurre dal 7.2.4.

**p. 414** La formula 7.121 è la freccia sotto  $P$ :  $f_P$ .

**p. 409 Esercizio 7.3.2**

Si considera la trave di Figura 7.29 (a), di lunghezza  $l$ , incastrata alle due estremità, e soggetta ad una forza trasversale concentrata  $P$  applicata al centro della trave. Si vuole calcolare il momento flettente lungo la trave, e la freccia  $f_B$  nel punto  $B$  sotto il carico.

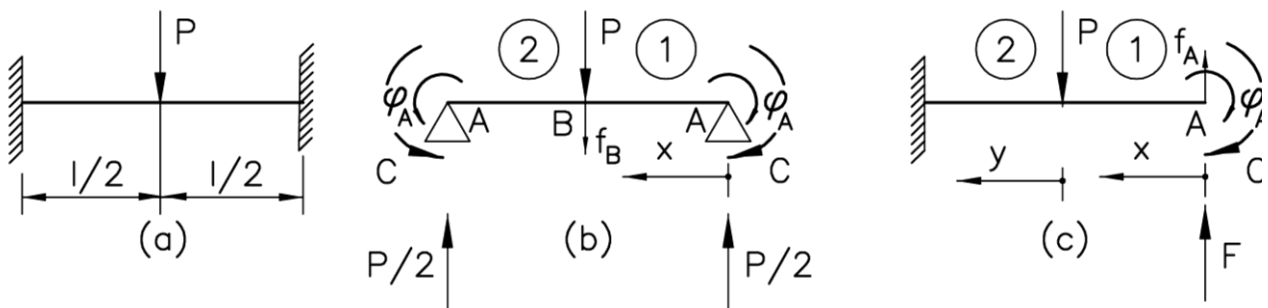


Figura 7.29

I gradi di vincolo sono sei, cioè tre per ogni incastro, mentre le equazioni di equilibrio sono tre. La struttura è quindi  $6-3=3$  volte iperstatica. In genere si suppone però che gli incastri permettano lievi moti assiali della trave, che estinguono il carico assiale nella trave, vedi il paragrafo 5.3.1. I vincoli reali di Figura 7.29 (a) vanno quindi intesi come un incastro a sinistra ed un carrello senza cerniera a destra (o viceversa), vedi la Figura 5.1 (g). Con questa interpretazione dei vincoli, i gradi di vincolo diventano  $3+2=5$ , e quindi la struttura è due volte iperstatica.

Si esamina nel seguito il grado di indeterminazione statica della struttura. Lo svincolamento di Figura 7.29 (b) è particolarmente vantaggioso perché preserva la simmetria del problema. La reazione verticale, uguale ai due appoggi, dalle condizioni di equilibrio verticale vale  $P/2$ , e quindi non costituisce un'incognita staticamente indeterminata. Invece, la coppia  $C$ , uguale ai due appoggi, non è valutabile tramite equazioni di equilibrio, e quindi è l'unica incognita staticamente indeterminata. Reazioni orizzontali vengono escluse, dato che si ritiene che uno dei due incastri lavori come un carrello senza cerniera, e la presenza di un vincolo a carrello annulla le reazioni orizzontali. Siccome l'unica reazione incognita non ricavabile dalle equazioni di equilibrio è  $C$ , la struttura è una volta staticamente indeterminata, e due volte iperstatica.

Ritornando allo svincolamento 7.29 (b), occorre determinare il valore della coppia  $C$  tale che le estremità  $A$  della trave di Figura 7.29 (b) non ruotino, cioè  $\varphi_A=0$ , in accordo con le costrizioni imposte dal vincolo di incastro.

Siccome il problema è simmetrico, si studia solo metà struttura, per esempio il tratto (1) della Figura 7.29 (b). Il momento flettente per il tratto (1) della struttura e l'energia interna valgono

(Il seguito è corretto)

**p. 414** formula 7.121 è la freccia sotto  $P$ :  $f_p$

**p. 471**

a metà pagina.  $Pl^2/(48EJ)$  va corretto in  $Pl^3/(48EJ)$